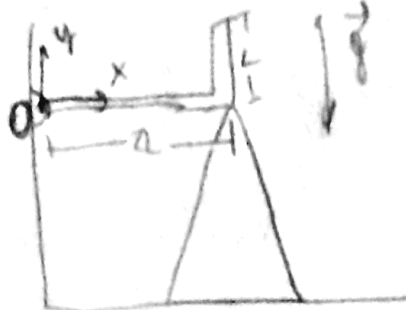
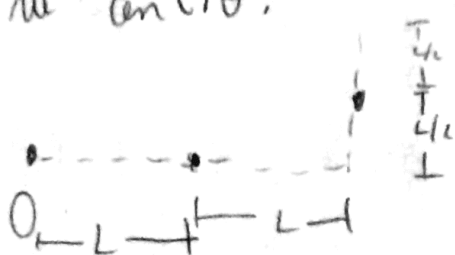


P2



- Centro de masas:  
→ pongamos el origen en el punto, coordenadas cartesianas
- como su densidad  $\rho$  es uniforme,  
entonces el C.M. de cada parte de la L esté en  
el centro.



→ Recuerda: el c.m. de un sistema  
es la ponderación de los c.m. de  
sus "sub-sistemas" ponderados por sus masas.

→ C.m. de la parte de largo  $2L$  es  $\left[\begin{smallmatrix} L \\ 0 \end{smallmatrix}\right]$ , y del de largo  $L$  es  $\left[\begin{smallmatrix} 2L \\ L/2 \end{smallmatrix}\right]$

$$\rightarrow \vec{x}_{cm} = \frac{\left[\begin{smallmatrix} L \\ 0 \end{smallmatrix}\right] \cdot \rho_2 k + \left[\begin{smallmatrix} 2L \\ L/2 \end{smallmatrix}\right] \cdot \rho_1 k}{\rho_2 k + \rho_1 k} = \frac{\left[\begin{smallmatrix} 2L + 2L \\ L/2 \end{smallmatrix}\right]}{3} = \left[\begin{smallmatrix} 4L/3 \\ L/6 \end{smallmatrix}\right]$$

• DCL barre estática → cuñas solo hacen fuerza verticales.

 → el peso se ejerce sobre el centro de masas.

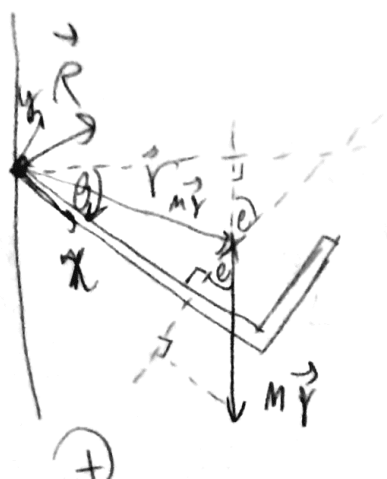
→ estático:  $\vec{G}_o = 0$ ,  $\vec{F}^{neto} = 0$

$$\rightarrow \vec{T}_R = \vec{0}, \vec{T}_{mg} = -Mg \cdot \frac{4L}{3} \hat{k}, \vec{T}_N = +N \cdot 2L \hat{i}$$

$x$  de C.m

$$\rightarrow -Mg \cdot \frac{4L}{3} \hat{k} + 2LN \hat{i} = 0 \rightarrow \boxed{\vec{N} = \frac{2Mg}{3} \hat{i}}$$

c) DCL sobre un eje.



$$\vec{T}_R = 0, \vec{T}_{M\vec{y}} = \vec{V}_{M\vec{y}} \times M\vec{y}$$

$$\begin{aligned}
 &= \left( \frac{4L}{3} \hat{i} + \frac{L}{6} \hat{j} \right) \times (M \cos \theta \hat{i} - M \sin \theta \hat{j}) \\
 &= -\frac{4L}{3} M \cos \theta (\hat{x}) + \frac{L}{6} M \sin \theta (\hat{x}) \\
 &= \frac{4L}{3} M \cos \theta R + \frac{L}{6} M \sin \theta R \\
 &= LM\vec{y} \left( \frac{4 \cos \theta}{3} + \frac{\sin \theta}{6} \right) \vec{R}
 \end{aligned}$$

$$(\vec{x}) = -R$$

$$\vec{y} \times \vec{z} = \vec{R}$$

Para sist.

invertido

$$\vec{I}_0 = \vec{G}_0 \rightarrow I_0 \vec{z} R = LM\vec{y} \left( \frac{4 \cos \theta}{3} + \frac{\sin \theta}{6} \right) R$$

→ El apunte hace efecto de la parte debida a la orientación elegida

→ Busfremos  $I_0$ , tenemos 2 barras, se borrarán que el momento de una barra de masa  $M$  y largo  $R$  en torno a su extremo es  $\frac{MR^2}{3}$ , y a su centro de masa  $\frac{MR^2}{12}$ .

→  $I$  es una propiedad aditiva: si fijar el eje y considerar varios sistemas, el momento total es la suma de los momentos.

→ Busfremos  $I$  para cada parte de la  $L$ .

$$\rightarrow \text{el } I_1 \text{ de la boyta de largo } 2L \text{ es } I_1 = \frac{\rho_{12} L \cdot (2L)^2}{3}$$

$$\rightarrow \text{el } I_2 \text{ de la boyta de largo } L \text{ es } I_2 = I_{z, \text{cm}} + \rho_{12} d^2$$

$$\text{inercia CR a centro de masas} = \frac{\rho L \cdot L^2}{12}$$

$$\rightarrow d^2 = \left\| \begin{bmatrix} 2L \\ L/2 \end{bmatrix} \right\|^2 = 4L^2 + \frac{L^2}{4} = \frac{17L^2}{4}$$

$$\rightarrow I_2 = \frac{\rho L^3}{12} + \rho L \cdot \frac{17L^2}{4} = \rho L^3 \left( \frac{1}{12} + \frac{17}{4} \right) = \rho L^3 \frac{52}{12} = \frac{13\rho L^3}{3}$$

$$\text{entonces } I_o = I_1 + I_2 = \frac{8\rho L^3}{3} + \frac{13\rho L^3}{3} = \frac{21\rho L^3}{3} = 7\rho L^3$$

$$\therefore 7\rho L^3 d = k \cdot 3 \rho K \cdot r \left( \frac{76r}{3} - \frac{5r}{6} \right)$$

$$\rightarrow d = \frac{38}{7L} \left( \frac{76r}{3} + \frac{5r}{6} \right) = \frac{1}{7L} \left( 162r + \frac{25r}{2} \right)$$

$\rightarrow$  necesitaran información sobre  $R$ , hacer otra ecuación de torque CR e otro punto claramente no sirve, usar la ec. de momento en torno al eje.

$$\rightarrow \text{para hacer más fácil el trabajo, de separar } R \text{ en sus componentes: } \vec{R} = R_x \hat{i} + R_y \hat{j}$$

a),  $\vec{R} + M\vec{P} = M\vec{\omega}_{cm}$  + Nun se observa la presencia de la aceleración tangencial y centrípetas.

$$\rightarrow \text{ent} \quad \vec{\omega}_{ent} = \omega^2 \|\vec{x}_{cm}\| = \omega^2 d, \quad \text{y} \quad \vec{e}_{tan} = \|\vec{x}_{cm}\|, \quad d = d\alpha$$

$$\rightarrow \vec{\omega}_T = \omega_T \sin \ell \{ -\omega_T \cos \ell \}$$

$$\vec{\epsilon}_c = -\omega_c \cos \ell \{ -\epsilon_c \sin \ell \}$$

$$\rightarrow \vec{\omega}_{cm} = \vec{\omega}_T + \vec{\epsilon}_c$$

$$\therefore \begin{bmatrix} R_x \\ R_y \end{bmatrix} + \begin{bmatrix} M\gamma \sin \ell \\ -M\gamma \cos \ell \end{bmatrix} = M \begin{bmatrix} d\omega \sin \ell - \omega^2 d \cos \ell \\ -d\omega \cos \ell - \omega^2 d \sin \ell \end{bmatrix}$$

$$\rightarrow R_x = M d \omega \sin \ell - M \omega^2 d \cos \ell - M\gamma \sin \ell$$

$$\rightarrow R_y = -M d \omega \cos \ell - M \omega^2 d \sin \ell + M\gamma \cos \ell$$

pero  $\sin \ell = \frac{\vec{x}_{cm}}{\|\vec{x}_{cm}\|} \xrightarrow{\text{vert. ad}} \frac{L/b}{d}$

$$\cos \ell = \frac{\vec{x}_{cm}^\top}{\|\vec{x}_{cm}\|} = \frac{qL}{3 \cdot d} \quad / \quad M = 3PL$$

$$\begin{aligned} \rightarrow R_x &= (3PL) \cdot d \cdot \frac{qL}{3 \cdot d} - (3PL) \cdot w^2 \cdot d \cdot \left(\frac{qL}{3 \cdot d}\right) - 3PL \gamma \sin \ell \\ &= \frac{PL^2}{2} - 4PL^2 w^2 - 3PL \gamma \sin \ell \end{aligned}$$

redob  
de p. 10



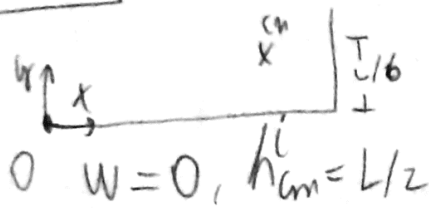
$$\rightarrow F_y = -(PL) \cdot I_2 \left( \frac{9L}{7d} \right) - (PL) \cdot w^2 d \left( \frac{L}{6d} \right)^2 + Mg \cos \theta$$

$$= -\frac{4PL^2}{7} + \frac{w^2 PL^2}{2} + 3PLg \sin \theta$$

→ Considerar todo menor  $w$ . Suponer  $w(\theta)$  en todo punto de tiempo, con la de Verifica. Usar en la ENERGIA

→ momento angular desaparece el pivote V/S momento angular

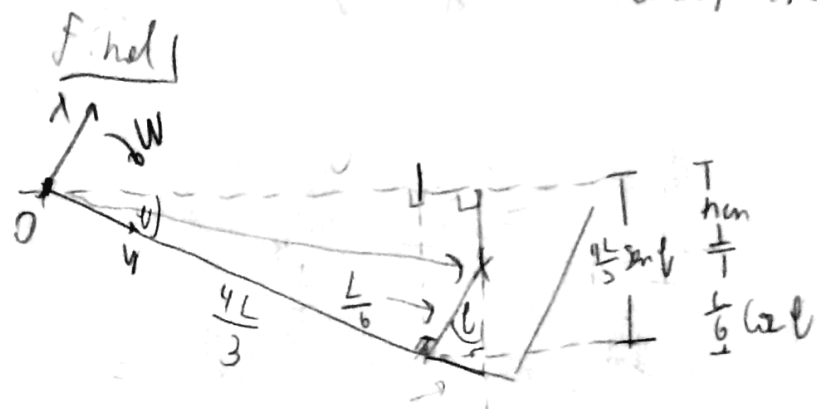
inicial



$$0 \quad w=0, \quad h_{cm} = L/2$$

$$E_i = Mg h_{cm} = 3PLg \cdot \frac{L}{6}$$

$$= \frac{PL^2 g}{2}$$



$$E_f = Mg h_{cm} + \frac{1}{2} I_0 w^2$$

$$= 3PLg \left( -\frac{4L}{3} \sin \theta + \frac{L}{6} \cos \theta \right) + \frac{1}{2} I_0 w^2$$

$$\text{Conservación} \rightarrow \frac{PL^2 g}{2} = 3PLg \left( -\frac{4L}{3} \sin \theta + \frac{L}{6} \cos \theta \right) + \frac{1}{2} I_0 w^2$$

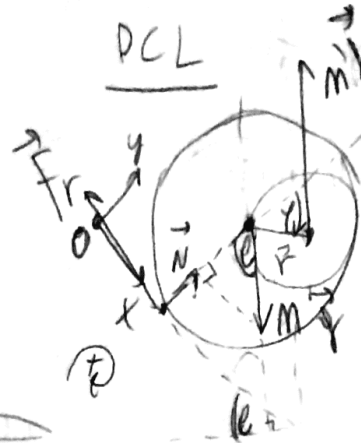
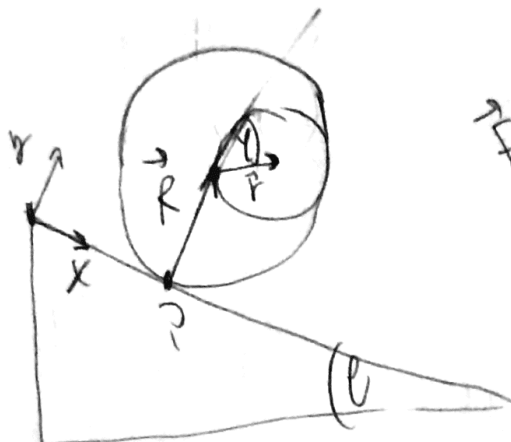
$$\rightarrow \cancel{PLg} \left( \frac{L}{2} - 3 \left( \frac{4L}{3} \sin \theta + \frac{L}{6} \cos \theta \right) \right) = \cancel{\frac{1}{2} I_0 w^2}$$

$$w^2 = \frac{8 \left( \frac{1}{2} + 9 \sin \theta - \frac{\cos \theta}{2} \right)}{\frac{1}{2} I_0} = \frac{8 \left( 1 + 8 \sin \theta - \cos \theta \right)}{7L}$$

$$F_x = \frac{1}{19} PL \gamma (36\alpha\beta - 16\alpha\beta - 1)$$

$$R_y = \frac{1}{28} PL \gamma (12\alpha\beta - 12\beta\alpha\beta - 1)$$

P3]



→ Como la fuerza neta es aditiva vectorialmente, se puede ver la fuerza que ejerce el C.M. como la fuerza del C.M. del cil. grande mas la del cilindro chico.

→  $M_g$  es la masa del cil. grande, y  $m_g$  la del cilindro chico (lo que tendencies si no friccion no hay)

→ teniendo  $M_g = \pi R^2 \cdot L \cdot \rho$ , y  $m_g = \pi (R/2)^2 \cdot L \cdot \rho$ .

→ teniendo que  $\vec{f} = \begin{bmatrix} 8 \sin \theta \\ -4 \cos \theta \end{bmatrix}$

$$\vec{F} = \begin{bmatrix} \frac{R}{2} \sin \theta \\ \frac{R}{2} \cos \theta \end{bmatrix}, \quad \vec{R} = \begin{bmatrix} 0 \\ R \end{bmatrix}$$

→ Para la ecuación de movimiento necesitarán  $I_p$

→ buskunar el torque de codo fuerza

$$\rightarrow \vec{\tau}_c = \vec{\tau}_n = 0$$

$$\rightarrow \vec{\tau}_n = \begin{bmatrix} 0 \\ R \end{bmatrix} \times \begin{bmatrix} m^g \sin \theta \\ -m^g \cos \theta \end{bmatrix} = -R m^g \sin \theta \hat{k}$$

$$\rightarrow \vec{\tau}_n = \underbrace{\begin{bmatrix} \frac{R}{2} \sin \theta \\ \frac{R}{2} \cos \theta + R \end{bmatrix}}_{\vec{R} + \vec{r}} \times \begin{bmatrix} m^g \sin \theta \\ -m^g \cos \theta \end{bmatrix} = -R m^g \begin{vmatrix} \sin \frac{\theta}{2} & \frac{\theta + \ell}{2} & 0 \\ \sin \theta & \cos \theta & 0 \end{vmatrix}$$

por  
orientación

$$= -R m^g \left( \frac{\sin(\theta)}{2} + \frac{\sin(\theta + \ell)}{2} + \sin \theta \right) \hat{k} = -R m^g \left( \frac{\sin(\ell + \theta)}{2} + \sin \theta \right) \hat{k}$$

Si, para que el cilindro este quieto,  $\vec{\tau}_p = 0$

$$\rightarrow \vec{\tau}_p = 0 \rightarrow q m g \sin \theta \hat{k} - R m^g \left( \frac{\sin(\ell + \theta)}{2} + \sin \theta \right) \hat{k} = 0 / . \frac{1}{m}$$

$$\rightarrow \sin \theta - \frac{m^g}{m} \left( \frac{\sin(\ell + \theta)}{2} + \sin \theta \right) = 0$$

$$\frac{m}{M} = \frac{\pi \frac{R^2}{4} \cdot L \cdot p}{\pi R^2 \cdot L \cdot p} = \frac{1}{4} \rightarrow \sin \theta - \frac{1}{4} \left( \frac{\sin(\ell + \theta)}{2} + \sin \theta \right) = 0 / . 8$$

$$\rightarrow 8 \sin \theta - \sin(\ell + \theta) \leftrightarrow \sin \theta = 0 \rightarrow \sin(\ell + \theta) = 6 \sin(\theta).$$

entonces, para que exista el  $\ell$  que buscas,  $6 \sin(\theta) = \sin(\ell + \theta) \leq 1$

$$\rightarrow \sin \theta \leq 1/6 \rightarrow \boxed{\ell_{\text{crit}} \approx 1/6}$$

$$\rightarrow I_p = I_p^m - \underbrace{I_p^{M'}}_{\text{momento de } M', \text{ al horno}} + \text{momento de } M, \text{ al horno}$$

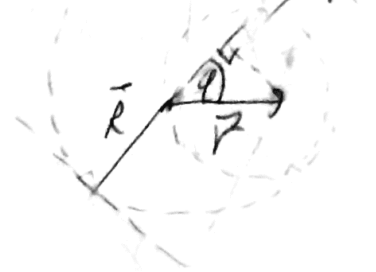
$$= I_{cm}^m + R^2 M + I_{cm}^{M'} + M \| \vec{r} + \vec{R} \|^2$$

distancia del centro  
del horno a P.

Steiner

$$\vec{r} = \frac{R}{2} \sin \theta \left( \hat{i} + \frac{R \cos \theta}{2} \hat{j} \right)$$

$$\vec{R} = R \hat{j}$$



$$\text{en: } \| \vec{r} + \vec{R} \|^2 = \left\| \begin{bmatrix} \frac{R \sin \theta}{2} \\ \frac{R \cos \theta}{2} + R \end{bmatrix} \right\|^2 = \frac{R^2}{4} \sin^2 \theta + \frac{R^2}{4} \cos^2 \theta + R^2 \cos \theta + R^2$$

$$= \frac{R^2}{4} + R^2 \cos^2 \theta + R^2 = R^2 \left( \frac{5}{4} + \cos^2 \theta \right)$$

$$\rightarrow I_p = \frac{MR^2}{2} + MR^2 + \frac{M(R/2)^2}{2} + MR^2 \left( \frac{5}{4} + \cos^2 \theta \right)$$

$$= MR^2 \left( \frac{1}{2} + 1 + \frac{M}{m} \frac{1}{8} + \frac{5}{4} + \cos^2 \theta \right) = MR^2 \left( \frac{11}{4} + \frac{M}{m} \frac{1}{8} + \cos^2 \theta \right)$$

$$\frac{M'}{m} = \frac{\pi R^2 / 4 \cdot 4 \theta}{\pi R^2 \cdot 4 \theta} = \frac{1}{4} \rightarrow I_p = MR^2 \left( \frac{11}{4} + \frac{1}{32} + \cos^2 \theta \right) = MR^2 \left( \frac{89}{32} + \cos^2 \theta \right)$$

$$\rightarrow \text{ahora hay que sacar la ec. de torque, } \vec{\tau} = I_p \cdot \vec{\omega}$$

$$\rightarrow \dot{\vec{\tau}} = \dot{I}_p \vec{\omega} \times \vec{R} + I_p \dot{\vec{\omega}} \times \vec{R} = 3MR^2 \sin \theta \vec{k} - RM^2 \gamma \left( \frac{\sin(\theta + \ell)}{2} + \sin \ell \right) \vec{k} = \frac{\gamma}{2} \vec{k}$$

$$\dot{I}_p = -MR^2 \sin \theta \cdot \dot{\theta} \rightarrow M^2 R^2 \sin^2 \theta + mMR^2 \left( \frac{89}{32} + \cos^2 \theta \right) = RM^2 \sin \theta - RM^2 \gamma \left( \frac{\sin(\theta + \ell)}{2} + \sin \ell \right) / \frac{1}{m}$$

$$\rightarrow \dot{\theta} \left( \frac{89}{32} + \cos^2 \theta \right) - R \sin \theta \sin \ell = 8 \sin \ell - \frac{m}{M} \gamma \left( \frac{\sin(\theta + \ell)}{2} + \sin \ell \right)$$

$$\rightarrow Q = RW^2 \sin \theta + f S_{\text{ref}} - \frac{g}{4} \left( \frac{\sin(\theta + \ell)}{2} + 2 \sin \ell \right)$$

$$R \left( \frac{89}{32} + \cos \ell \right)$$

→ discretizar en tomar un intervalo de tiempo  $[t_0, t_f]$  en  $N$  subdivisiones de tamaño  $\Delta t \equiv \frac{t_f - t_0}{N}$ .

→ así se define  $l_i \equiv l(t_i)$ , con  $t_i \equiv t_0 + i \Delta t$ , el  $i$ -ésimo tiempo.

→ recordar que  $\dot{l} = w$ , y  $\ddot{l} = \alpha$ , es decir, en la ecuación  $\ddot{l}(i, \ell)$ . así, puede aplicar Verlet:

→ la información de la ecuación me permite obtener  $l_{i+1}$  en función de  $l_i$  y  $l_{i-1}$ . Veamos como

→ Usara aproximaciones para  $\dot{l}$  y  $\ddot{l}$

$$\dot{l}_i \approx \frac{l_i - l_{i-1}}{\Delta t}, \quad \ddot{l}_i \approx \frac{l_{i+1} - 2l_i + l_{i-1}}{\Delta t^2}$$

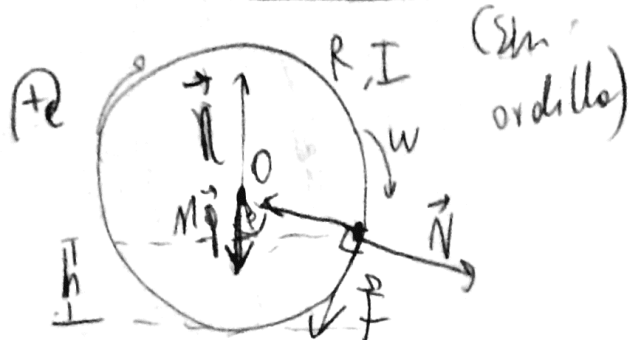
→ reemplazando

$$\frac{l_{i+1} - 2l_i + l_{i-1}}{\Delta t^2} = \frac{R \cdot \left( \frac{l_i - l_{i-1}}{\Delta t} \right) \sin(l_i) + f S_{\text{ref}} - \frac{g}{4} \left( \frac{\sin(l_i + \ell)}{2} + 2 \sin \ell \right)}{R \left( \frac{89}{32} + \cos(l_i) \right)}$$

$$\rightarrow l_{i+1} = \frac{\Delta t^2 \left( R \left( \frac{l_i - l_{i-1}}{\Delta t} \right) \sin(l_i) + f S_{\text{ref}} - \frac{g}{4} \left( \frac{\sin(l_i + \ell)}{2} + 2 \sin \ell \right) \right) + 2l_i - l_{i-1}}{R \left( \frac{89}{32} + \cos(l_i) \right)}$$

P4

### DCL verde



$$\operatorname{Sen} \beta = \sqrt{R^2 - (R-h)^2}$$

$$I\vec{\alpha}_o = +\vec{R} \times \vec{f} = +fR\hat{n} = I_o \omega \hat{n}$$

$$\rightarrow +fRm\operatorname{Sen} \beta = I_o \omega$$

$$\rightarrow \omega = \frac{-fRm\operatorname{Sen} \beta}{I_o} = +\frac{Rm\operatorname{Sen} \beta}{M R^2} = \left(\frac{h}{m}\right) \frac{\operatorname{Sen} \beta}{R}$$

• Cuando el orificio deje de correr, este force sobre parte de la rueda, esto lleva a una disminución en  $\omega$ , para este intervalo  $I$  se debe conservar (no hay fuerza exterior).

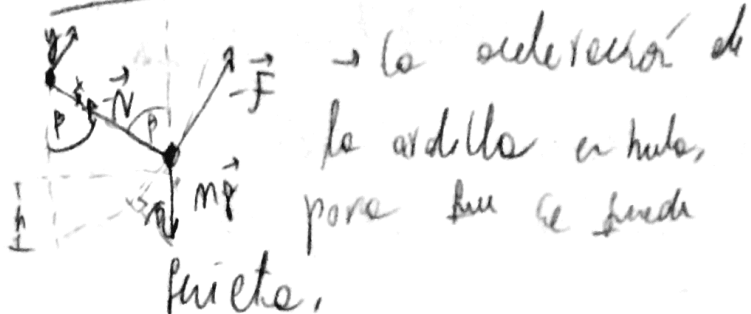
$$I_i = I\bar{W} + mR^2 \times \underbrace{W_{\text{orificio}}}_{W_0} = IW_0, \text{ pero ante el instante } t \text{ todo sobre } R \text{ que el orificio se agota.}$$

$$E_F = (I + mR^2) W_F, \text{ conservación} \rightarrow IW_0 = (I + mR^2) W_F$$

momento del sistema

$$\rightarrow W_F = \frac{W_0 I}{I + mR^2} = \frac{W_0}{1 + \frac{mR^2}{I - mR^2}} = \frac{W_0}{1 + \frac{m}{I - m}}$$

### DCL verde



$$I\vec{F} = 0 \rightarrow [-N] + [0] + \begin{bmatrix} mg\operatorname{Cos} \beta \\ F \end{bmatrix} = \vec{0}$$

$$\rightarrow F = mg \operatorname{Sen} \beta$$

• para calcular  $H$ , usaremos energía.

$$E_i = mgh + \frac{1}{2} (I + mr^2) W_f^2$$



justo después  
de detenerse

$$E_f = mgh, \quad W = 0 \quad \text{para estar en el mismo}$$

$$\text{conservación} \rightarrow mgh = mgh + \frac{1}{2} (MR^2 + mR^2) W_F^2$$

$$\rightarrow h = h + \frac{1}{2g} \left( \frac{M}{m} + 1 \right) R^2 \cdot W_F^2$$

$$= h + \frac{R^2}{2g} \left( \frac{M}{m} + 1 \right) \cdot \frac{W_0}{1 + \frac{m}{M}} = h + \frac{R^2 W_0}{2g} \cdot \frac{M+m}{m} \cdot \frac{M}{M+m}$$

$$H = h + \frac{R^2 W_0}{2g} \left( \frac{M}{m} \right)$$